



Fig. 1.- Panorámica de la formación basáltica I en la costa, con la formación traquítico-ignimbritica (Ig) del dominio intracáldera marcando el escarpe alto del Risco de Faneque. La flecha señala un "planchón" de colada basáltica del ciclo post-Roque Nublo inferior discordante sobre los basaltos I.



Fig. 11.- Límite de la Caldera de Tejeda en la pared sur del valle de Agaete con la formación basáltica I (B) infrayaciendo a las traquitas-ignimbriticas intracaldera (Ig).



Fig. 10.- Panorámica de las traquitas ignimbriticas (Ig) del dominio intracaldera en el límite de la Caldera en el valle de El Risco. Las flechas señalan las zonas verdosas de alteración hidrotermal que dan origen a los "azulejos". La parte inferior de la ladera es la formación basáltica I (B).



Fig. 12.- Colada de la toba vitrofídica riolítica de la formación traquíítico-riolítica - extracaldera, en el km. 58.6 de la carretera de S. Nicolás a Agaete.



Fig. 13.- Detalle de la textura porfídica y de los enclaves basálticos de la toba vitrífida riolítica de la fig. anterior.



Fig. 14.- Base obsidiánica totalmente caolinizada en su parte inferior, correspondiente a una colada ignimbótica de la formación traquítico-riolítica extracaldera.



Fig. 15.- Panorámica del valle de El Risco (R) con el límite de la caldera marcado por los "azulejos" (flecha), y el escarpe de traquitas ignimbritas (Ig) del Risco de Faneque y del Pinar de Tamadaba.



Fig. 16.- Escarpes de fonolitas y traquifonolitas en la Degollada de Las Brujas. En la parte inferior pueden verse las alteraciones hidrotermales que dan origen a los "azulejos".



Fig. 17.- Escarpes de las traquitas-ignimbriticas intracaldera en la ladera del Barranco del Laurel, en la zona de las casas de Tirma. Obsérvese el comienzo de la entrada de diques (D) en el dominio de la caldera.



Fig. 18.- Aspecto general de las tobas rojizas traquítico-riolíticas intracaldera en la pista de las casas de Tirma.



Fig. 19.- Detalle de las tobas rojizas de la fig. anterior.



Fig. 2.- Panorámica de la formación basáltica I en el Andén Verde, vista desde el valle de S. Nicolás de Telentino.



Fig. 20.- Límite de la Caldera de Tejeda en la zona de Cuevas Negras (C) y Degollada de las Brujas (B) marcado por las alteraciones hidrotermales (flechas). Los escarpes son de traquitas-ignimbriticas.



Fig. 21.- Panorámica de la Mesa de Acusa discordante sobre el complejo de diques del -- "cone-sheet".



Fig. 22.- Panorámica del contacto entre las fonolitas (A) y las tobas e ignimbritas del Dominio intracaldera (B) en la zona de Tifaracal.



Fig. 23.- Escarpes fonolíticos en el vértice de Altavista. (A)



Fig. 24.- Escarpes de tefritas (Tf) en contacto con el "cone-sheet" (CS) en las proximidades de la Mesa de Acusa.



Fig. 25.- Pared SO. de la Mesa de Acusa con la parte inferior compuesta por la brecha Roque Nublo, y la superior por las coladas basálticas del ciclo post-Roque Nublo inferior.



Fig. 26.- Aspecto estructural de la brecha volcánica Roque Nublo en la Mesa de Acusa.



Fig. 27.- Vista general del escarpe de Llanos Blancos, con la deposición de dunas en su parte baja.

Fig. 28.- Aspecto del encajamiento del barranco en los materiales eólicos de la Punta de Llanos Blancos.

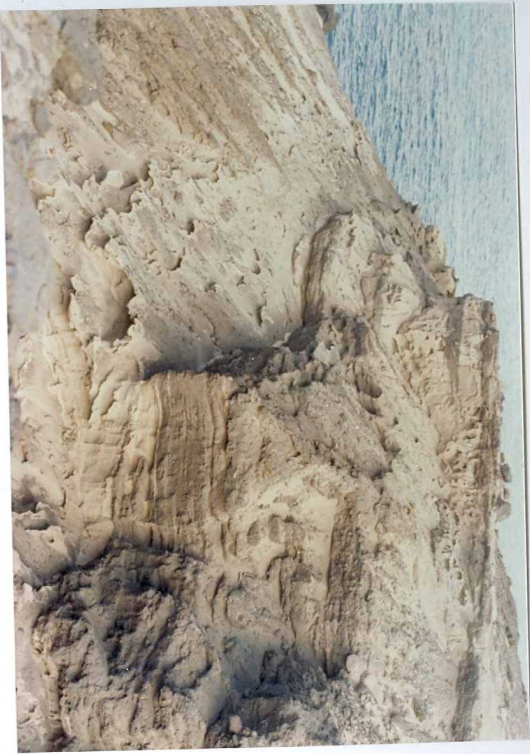




Fig. 29.- Detalle de las estructuras de estratificación cruzada en las dunas de Llanos Blancos.



Fig. 3.- Panorámica de la formación basáltica I en la zona de El Risco, con la formación traquíítico ignimbrítica (Ig) del dominio intracaldera marcando el escarpe alto del Risco de Faneque. Al fondo la península de Sardina y Montaña Almagro (A).



Fig. 30.- Estratos de piroclastos debajo de las coladas basálticas post-Roque Nublo inferior, en la Mesa de Acusa.



Fig. 31.- Potentes sedimentos aluviales (S) debajo de coladas basálticas post-Roque Nublo inferior en el Barranco del Merino.

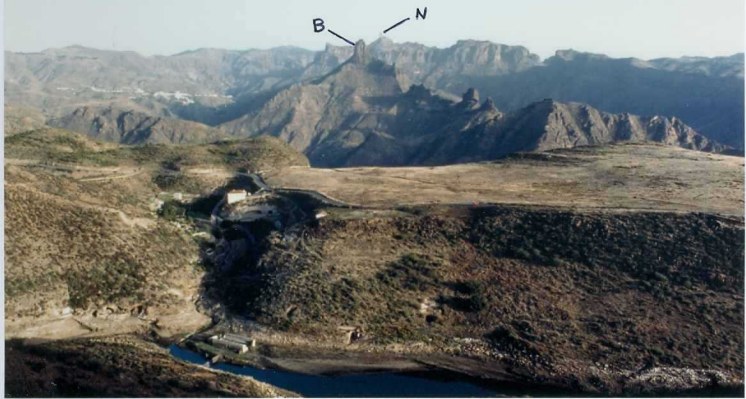


Fig. 32.- Parte alta de la Mesa de Acusa, formada por coladas basálticas del post-Roque Nublo inferior. En primer término el Barranco del Merino; al fondo el Roque - Nublo (N) y el Roque Bentaiga (B).



Fig. 33.- Cono de tefra del edificio del Roque Bermejo, en la ladera sur del valle de Agaete.



Fig. 34.- Depósitos de deslizamiento gravitacional (D) en las Casas de Tirma.



Fig. 35.- Depósitos de deslizamientos gravitacionales (D) en la zona de Los Azulejos al borde de la falla de la Caldera de Tejeda.



Fig. 4.- Diques sálicos y básicos cortando la formación basáltica I en la zona de Guayedra. La flecha señala un "planchón" de colada basáltica del ciclo post-Roque -- Nublo inferior.



Fig. 5.- Apilamiento de coladas basálticas del ciclo I, en la carretera de subida de S. Nicolás hacia el Andén Verde. Un potente dique (D) corta las coladas.



Fig. 6.- Coladas basálticas "pahoehoe" de la formación basáltica I en la carretera de subida de S. Nicolás hacia el Andén Verde.

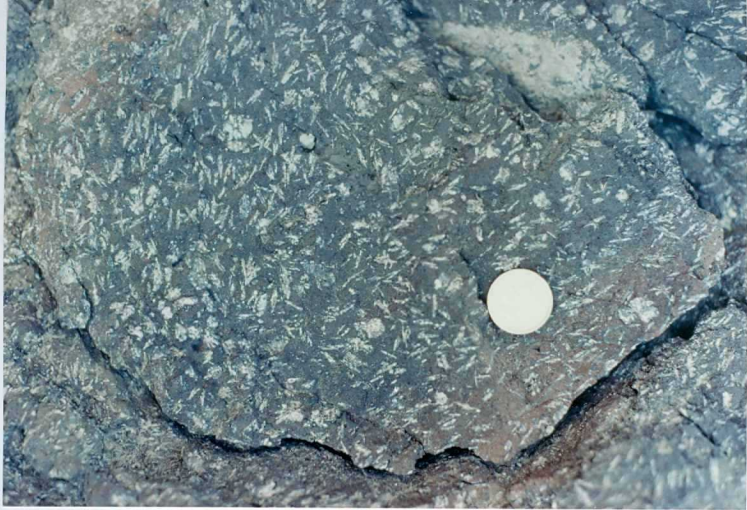


Fig. 7.- Basalto plagioclásico de la formación basáltica I en la zona del Barranco del Perchel (400 m. al N. del Puerto de La Aldea).



Fig. 8.- Dunas de la zona de Llanos Blancos (D), y acantilado sobre la formación basáltica I en el Andén Verde.



Fig. 9.- Base de coladas basálticas "aa" del tramo medio de la formación basáltica I en la carretera de subida de S. Nicolás al Andén Verde.